

## 渦層の運動の離散渦法による解析

名大工学部 王 魯濱 (Wang Lubin)

名大工学部 桑原 真二 (Kuwabara Shinji)

名大工学部 金田 行雄 (Kaneda Yukio)

### 1 序

渦層についての數値解析は、渦系近似法がよく用いられる。よく知られてゐるところ、Rosenhead(1931)の研究によれば最初にこの方法を考へられた。しかし、この方法の不備がBirkhoff(1959)によって指摘され、實際にTakami(1964)は飛行機の翼からでる渦層の渦巻の計算にこの方法を用いたが、渦層の特異点となるてこゝで、ためらかな spiral は観測されず、渦系が力的的な動きとなるてしまう。その後も渦系近似法の研究が、いづれもなされてきて。その中で、Van de Vooren(1980)は、Birkhoffの方程式のCauchy主値の被積分函数の正則化によつて、離散化を行つた。近年のこの方面的研究は、代表的研究の二つとして、Higdon & Poirier(1985)と krasny(1986)の研究である。二つには、離散渦法と名付ける方法を利用して

(1)

完全流体における二次元の渦層の運動を數値的に解析し乍。

二二での離散渦法は、渦層を有限個の微小弧( $\delta\zeta$ )によつて近似するもので、各々の微小弧は、その中心点 $\bar{z}$ の位置、傾斜及曲率によつて代表される。渦層の連續性を考慮して、傾斜と曲率を取り入れるものであるが、それによつて、なめらかなる spiral が期待される。そして、時間發展とともに、ある点のまわりに渦度が高度集中あるもので、したがつて、微小弧の再分割化を行なう。

## § 2 離散化

完全流体における二次元渦層によつて誘起される速度場は、Birkhoff の方程式で表される。二二では、Lagrangian記述法を用ひて書く。

$$\frac{D}{Dt} Z(\zeta, t) = \frac{i}{2\pi} \int \frac{\tau(\zeta', t)}{\bar{Z}(\zeta, t) - \bar{Z}(\zeta', t)} d\zeta' \quad (2.1)$$

$Z(\zeta, t) = x(\zeta, t) + i y(\zeta, t)$ ;  $\bar{Z}$ はその共役複素数。

$\zeta$ : Lagrangian parameter. 初期の長さ parameter.

$f$ : Cauchy 主值。

渦層を  $n$  個の微小弧に分け、それらに通し番号をつける。 $l$  番目の微小弧の Lagrangian 位置座標を  $\zeta_l$  として

$$Z(\zeta, t) = \sum_l A(\zeta, l) \{ Z_0 + DZ_0(\zeta - \zeta_0) + \frac{1}{2} D^2 Z_0 (\zeta - \zeta_0)^2 + \dots \}$$

$$\gamma(\zeta, t) = \sum_l \Lambda(\zeta, l) \left\{ \gamma_l + D\gamma_l(\zeta - \zeta_l) + \frac{1}{2} D^2\gamma_l(\zeta - \zeta_l)^2 + \dots \right\}$$

$\therefore \therefore \approx$

$$\Lambda(\zeta, l) = \begin{cases} 1, & \text{for } \zeta \in l\text{-th arc;} \\ 0, & \text{otherwise} \end{cases}$$

$$Z_l = z(\zeta_l, t), \quad D^m Z_l = \left[ \frac{d^m}{d\zeta^m} z(\zeta, t) \right]_{\zeta=\zeta_l}$$

$$\gamma_l = \gamma(\zeta_l, t), \quad D^2\gamma_l = \left[ \frac{d^2}{d\zeta^2} \gamma(\zeta, t) \right]_{\zeta=\zeta_l}$$

(2.1) の両辺に  $\delta(\zeta - \zeta_l)$  をかける、 $\zeta$  について積分ある

$\therefore$  以下、 $\gamma$ 、離散方程式を導く。得られた基礎離散方程式は

$$\begin{aligned} \frac{D}{Dt} Z_l &= \frac{i}{2\pi} \sum_{l' \neq l} \left[ \frac{P_{l'}}{\bar{Z}_l - \bar{Z}_{l'}} + \frac{D\bar{Z}_{l'}}{(\bar{Z}_l - \bar{Z}_{l'})^2} PP_{l'} \right. \\ &\quad \left. + \left\{ \frac{1}{2} \frac{D^2\bar{Z}_{l'}}{(\bar{Z}_l - \bar{Z}_{l'})^2} + \frac{D\bar{Z}_{l'}^2}{(\bar{Z}_l - \bar{Z}_{l'})^3} \right\} P^2 P_{l'} \right] \\ &\quad - \frac{i}{2\pi} \frac{1}{D\bar{Z}_l} \left\{ \left( D\gamma_l - \frac{1}{2} \gamma_l \frac{D^2\bar{Z}_l}{D\bar{Z}_l} \right) \lambda_l - \frac{1}{48} D^2\gamma_l \frac{D^2\bar{Z}_l}{D\bar{Z}_l} \lambda_l^3 \right\}. \end{aligned}$$

(2.2)

である。 $\therefore \approx$  は  $\lambda_l$  は  $l$  番微小弧の初期の長さである。 $P_l$ 、  
 $PP_l$  と  $P^2 P_l$  は次のようく定義されてる。

$$P_l = \int \gamma(\zeta, t) \Lambda(\zeta, l) d\zeta$$

$$PP_l = \int \gamma(\zeta, t) \Lambda(\zeta, l) (\zeta - \zeta_l) d\zeta$$

$$P^2 P_l = \int \gamma(\zeta, t) \Lambda(\zeta, l) (\zeta - \zeta_l)^2 d\zeta$$

(3)

近似的に  $P_e$ ,  $PP_e$  及  $D^2P_e$  は次のようになる。

$$P_e \cong \delta_e \lambda_e + \frac{1}{24} D^2 \delta_e \lambda_e^3$$

$$PP_e \cong \frac{1}{12} D \delta_e \lambda_e^3$$

$$D^2P_e \cong \frac{1}{12} \delta_e \lambda_e^3$$

傾斜及曲率の計算には(2.2)式用様に得られるが、スキームが不安定である故に、實用的ではない。これは、渦層の連續性を条件に、重心差分法を用いることである。

$$DZ_e = \frac{2 \{ (\lambda_{e-1} + \lambda_e)^2 Z_{e+1} - (\lambda_{e+1} + \lambda_e)^2 Z_{e-1} - \{ (\lambda_{e-1} + \lambda_e)^2 - (\lambda_{e+1} + \lambda_e)^2 \} Z_e \}}{(\lambda_{e-1} + \lambda_e)(\lambda_{e+1} + \lambda_e)(2\lambda_e + \lambda_{e+1} + \lambda_{e-1})} \quad (2.3)$$

$$D^2Z_e = \frac{8 \{ (\lambda_{e-1} + \lambda_e) Z_{e+1} + (\lambda_{e+1} + \lambda_e) Z_{e-1} - (2\lambda_e + \lambda_{e+1} + \lambda_{e-1}) Z_e \}}{(\lambda_{e-1} + \lambda_e)(\lambda_{e+1} + \lambda_e)(2\lambda_e + \lambda_{e+1} + \lambda_{e-1})} \quad (2.4)$$

(2.3), (2.4) 及び (2.2) は、離散渦法における基礎的且三つの離散式で、實際の計算では (2.2) 式を 4 次のルンゲーク法を利用し、得られた  $Z_e$  を用いて (2.3) 式及び (2.4) 式の計算を行なう。傾斜及曲率を計算する。

### § 3. 初期値及計算の途中処理

### 3.1 初期値.

初期のモデルとして、次のようく曲線で表される渦層を用いた。

$$r = 1 + \epsilon \cos(m\theta)$$

$(r, \theta)$  は極座標である。

この曲線  $\gamma = \text{circulation density } J(s, t)$  を一様に分布させ、 $t, \epsilon, m$  と  $s, \theta$  の値を代入して、この曲線で代表される渦層の運動を追跡してみる。初期値の処理については、曲線の全長を Double Exponential Formula によつて計算されて、そして、微小弧の代表点の位置座標は Fehlberg 公式をもつて計算されている。

### 3.2 微小弧の伸縮についての処理.

計算の初期に微小弧の個数を有限個取つて、計算をはじめると、しかし、渦層の運動によっては、各々の微小弧は伸縮し、circulation density も著しく変化する。したがって、渦度の変化とともに、各々の微小弧の再分割化をしなければならぬ。kelvin の循環定理から、各々の微小弧の循環  $P_s$  は、保存量であり、

$$P_s = \int_{s \in s-\text{arc}} J(s, t) ds = J_s \lambda_s$$

のようになる。

$$\delta(\beta_0, t) \approx \frac{\delta_0 \lambda}{S(\beta_0, t)}$$

$\beta_0$  の  $\delta_0$  と  $\lambda$  は前述のように初期の ( $t=0$ ) 1番目の circulation density と 微小弧の長さであり、 $\delta(\beta_0, t)$  と  $S(\beta_0, t)$  は時間  $t$  の 1番目微小弧の circulation density と 長さである。したがって、時間発展について  $S(\beta_0, t)$  が変化し、それに伴って  $\delta(\beta_0, t)$  も変化する。實際によく知られてるように、特異点のまわりに渦度が集中する。これは、再分割化を行なうことでより、渦層の運動の追跡をさらに進むようである。再分割の条件については、時間  $t$  の 微小弧の長さと曲率半径を  $s_0$  と  $r_0$  とする時点で 1番微小弧を二分し、そして相応ある時間間隔を縮小する。

#### 4 結果

計算は、 $\varphi = 1 + \epsilon \cos(m\theta)$  の中に、 $\epsilon$  と  $m$  について 11つが行なされました。附录の図は  $\epsilon = 0.01$ ,  $m = 4$  の場合である。Fig.1は、上の4図はそれそれ、初期、分割前、分割後そして計算の最後の結果である。そして図(e)と図(f)は図(d)のまろの部分の拡大図であり、継上のマーカーは、微小弧の個数を表している。そこから分かるように、この場合に、特異点が4つ表われ、 $\varphi = 1 - \sin(\theta)$  となる。さらに、渦度

分布に  $t=0$  の Fig. 2 である。初期は一様分布の渦度が  
特異点に高密度集中あることが分かる。図は、左二軸が circulation  
density & logarithmic scale を描いたもので、右二軸が渦層に沿  
って測った長さである。

以上は、離散渦法を用いての初步的な計算で、結論としては、さらにつなぎを改良し、そして特異点が出現するまでの critical time などを特定する必要があるが、これは、二通りある。二の方法で、かなり自らめぐらかに spiral が見られ、特異点が現れるまでのシミュレーションが今まで思われた。特異点の critical time などの解析を含めて、特異点後、いかに、解析すれば日本での問題は残りの課題である。

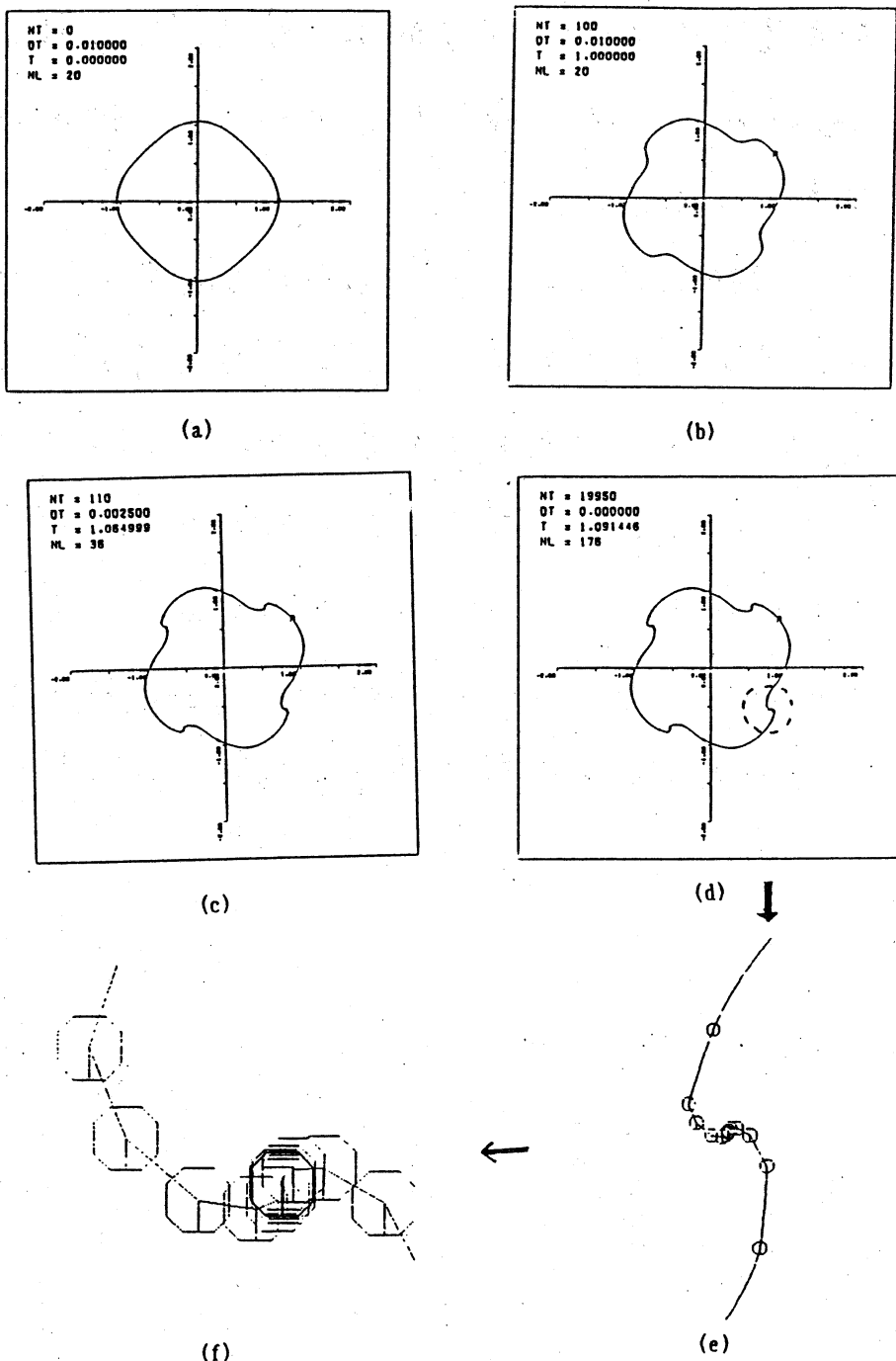
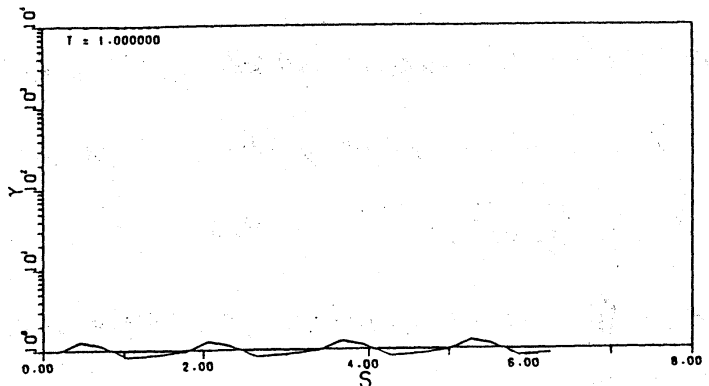
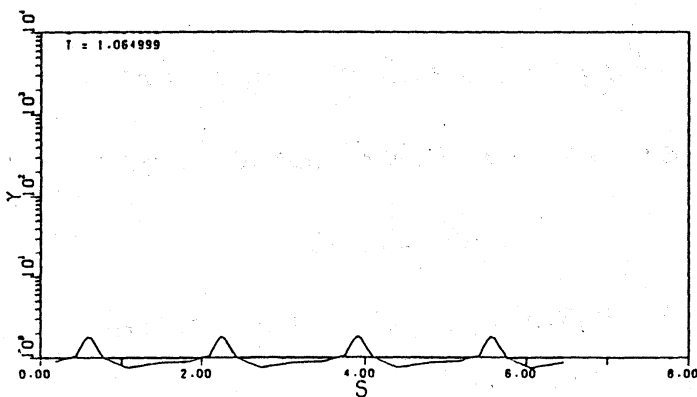


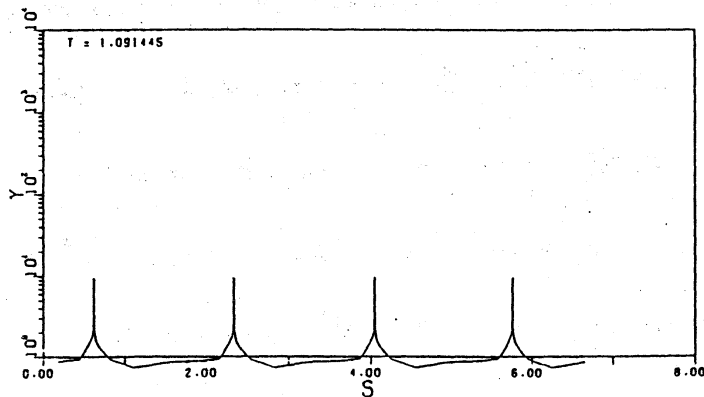
Fig. 1  $m=4$ ,  $\varepsilon = 0.01$ . (a) 初期の状態 (b) 分割直前  
 (c) 分割直後 (d) 最後の状態  
 (e, f) singular point の拡大図



分割直前



分割直後



最後の状態

Fig.2  $m=4$ ,  $\epsilon=0.01$ .について circulation density  $r$ と curve length  $s$ について  
のグラフ。(アはlogarithmic scale)

(4)

## 文献

1. Birkhoff, G. 1959. Do vortex sheets roll up?

Rend. Circ. Mat. palermo ser. 2, 28, 77

2. Higton, J. J. L. & Pozrikidis, C. 1985

The self-induced motion of vortex sheets.

J. F. M. vol. 150, 203

3. Krasny, R. 1986.

A study of singularity formation in a vortex sheet by the point-vortex approximation.

J. F. M. vol. 167, 65

4. Saffman, P. G. & Baker, G. R. 1979 Vortex interactions

Ann. Rev. F. M. vol. 11, 85

5. Takami, H. 1964 A numerical experiment with discrete vortex approximation reference to the rolling up of a vortex sheet.

Stanford Univ. Dept. Aeronaut. Eng. Rep. 202

6. van de Vooren, A. I. 1980. A numerical investigation of the rolling up of vortex sheets.

Proc. R. Soc. Lond. A373, 67